

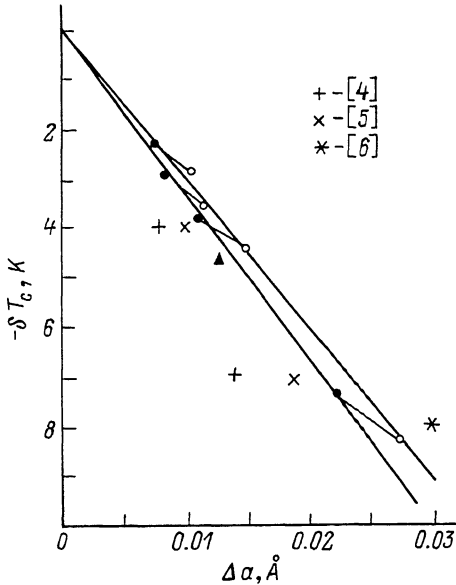
ВЛИЯНИЕ ТЕМПЕРАТУРНЫХ УСЛОВИЙ ИОННОГО  
ОБЛУЧЕНИЯ НА СВЕРХПРОВОДИМОСТЬ И СТРУКТУРУ  
*IN SITU* ПЛЕНОК  $Nb_3Sn$

П.В. Братухин, К.И. Дежурко,  
В.В. Евстигнеев, В.Ф. Елесин,  
И.В. Захарченко, А.В. Шабанов,  
С.В. Шавкин

При изучении радиационного воздействия на сверхпроводники температурные условия облучения играют существенную роль. Большинство исследований проводится при комнатной температуре. Однако для сверхпроводника  $Nb_3Sn$  со структурой A15, широко используемого в магнитах, рабочая температура  $< 20$  К. При низкотемпературном облучении возможно образование дефектных конфигураций, которые отжигаются при комнатной температуре. Поэтому необходимо установить, существует ли различие во влиянии на сверхпроводимость и структуру при низкотемпературном ( $< 20$  К) и высокотемпературном ( $\sim 300$  К) облучении и в чем это различие проявляется.

В работе [1] сверхпроводник  $Nb_3Sn$  облучали реакторными нейтронами при температуре 10 К. Анализировалась зависимость изменения критической температуры  $T_c$  от флюенса, сделана попытка сравнить полученные данные с результатами облучения при  $\sim 350$  К. Однако различия в спектре нейтронов и в методах определения  $T_c$  не позволили значимо разделить зависимости для низко- и высокотемпературного облучений. В работе [2] использовались ионы неона для низко- и высокотемпературного облучения пленок  $Nb_3Sn$ . Невысокая точность в определении флюенса (ошибка до 30%) не позволила однозначно разделить зависимости  $T_c$  от флюенса для разных температур облучения.

Необходимо отметить, что флюенс не является удобной величиной для анализа облучения и эволюции дефектного состояния. При использовании флюенса как параметра повреждений, практически пропадает возможность анализировать результаты облучения различными частицами с различными энергиями, невозможно сопоставлять результаты после облучения и после отжига. Кроме того, флюенс очень трудно измерить с высокой точностью. Перечисленные трудности можно преодолеть при использовании в качестве меры дефектности изменения параметра решетки. Важным преимуществом этого параметра по сравнению с флюенсом является а) большая точность определения из дифракционного эксперимента, б) универсальность при всех типах и условиях облучения и отжига. Параметр решетки измерялся в работах [4 - 6] при излучении радиационного воздействия на  $Nb_3Sn$ . Однако эти измерения проводились при комнатной температуре. В литературе нет данных об изме-



Зависимость изменения критической температуры от изменения параметра решетки при облучении.

рениях параметра решетки после низкотемпературного облучения  $Nb_3Sn$  при температуре не выше температуры облучения без промежуточного отогрева (*in situ*). Это, по-видимому, связано с тем, что не существовало оборудования и методик для проведения такого эксперимента.

В настоящей работе разработан специальный рентгеновский криостат с возможностью низкотемпературного облучения заряженными частицами и измерения рентгеновского дифракционного спектра и критической температуры четырехконтактным резистивным методом. Пленки  $Nb_3Sn$  на подложках из сапфира облучались ионами  $He$  с энергией 1.2 МэВ и ионами  $Ne$  с энергией 1.6 МэВ при температуре  $< 20$  К до флюенсов, соответствующих воздействию до 0.1 смешений на атом [2]. Пленки находились в напряженном состоянии из-за различия в коэффициентах теплового расширения подложки и пленки. Методом рентгеновской тензометрии определялась величина деформации и параметр решетки, соответствующий ненапряженному состоянию пленки. Значения коэффициента Пуассона взяты из работы [3]. Деформации не превышали 0.3%. Влияние напряжений на  $T_c$  не превышало 0.2 К.

На рисунке показана зависимость изменения  $T_c$  от изменения параметра решетки при облучении. Точки, обозначенные светлыми кружками, соответствуют состоянию образцов непосредственно после низкотемпературного облучения, темными – после отжига при

комнатной температуре в течение 40 часов (при более продолжительном отжиге параметры не изменялись). Параметры решетки измерялись при 5К. Приведены также данные работ [4-6], в которых параметр решетки измерялся при комнатной температуре, причем в работе [6] не учитывалось напряженное состояние пленки, а в работах [4] и [5]  $T_c$  измерялась индуктивным методом, который может дать величину  $T_c$ , на  $\sim 1\text{K}$  меньшую по сравнению с резистивным методом. По этим причинам литературные данные не могут прямо сопоставляться с результатами настоящей работы.

На рисунке проведены прямые через точки, соответствующие состоянию непосредственно после низкотемпературного облучения, и через точки, соответствующие состоянию после отжига. Наклон этих прямых соответственно  $(31 \pm 1) 10^{11} \text{ K/m}$  и  $(34 \pm 1) 10^{11} \text{ K/m}$  статистически различается. Это означает, что отжиг при 300 К после низкотемпературного облучения приводит к заметному изменению дефектного состояния, определяющего сверхпроводимость и структуру пленок  $Nb_3Sn$ . Темным треугольником изображена точка, соответствующая облучению при 300 К. В пределах экспериментальной ошибки эта точка попадает на нижнюю прямую. Таким образом, облучение при 300 К аналогично по влиянию на  $T_c$  и параметр решетки низкотемпературному облучению с последующим отжигом при 300 К, причем низкотемпературное облучение существенно отличается от высокотемпературного. Отрезки, соединяющие светлые и темные точки для каждого из образцов, характеризуют процесс отжига низкотемпературных дефектов. Средний наклон этих отрезков равен  $(21 \pm 5) 10^{11} \text{ K/m}$  и существенно отличается от наклона зависимости при облучении. Значение наклона для каждого из отрезков в пределах ошибки совпадает независимо от уровня дефектности и частиц ( $He$  или  $Ne$ ), использованных для облучения.

Все эти факты указывают на эквивалентность процессов дефектообразования и отжига при облучении легкими и тяжелыми частицами до различных уровней дефектности.

Авторы благодарят В.А. Колясникова и А.Ю. Ионова за изготовление образцов, А.С. Молчанова за технические консультации при проектировании криостата.

#### Список литературы

- [1] Söll M., Böning K., Baueger H. // J. of Low Temp. Phys. 1976. V. 24. P. 631-644.
- [2] Дегтяренко Н.Н., Елесин В.Ф., Жучков В.Е. и др. Препринт МИФИ О43-86, 1986. 20 с.
- [3] Баланкин А.С., Елесин В.Ф., Бычкова М.И., Гиллер И.Д. В кн.: Тез. конф. „Металлофизика сверхпроводников”, Киев, 1986. С. 131-133.
- [4] Swedler A.R., Cox D.E., Moehlecke S. // J. Nucl. Mat. 1978. V. 72. P. 50-69.

- [5] Nölscher C., Saemann - Ischenko G. // Phys. Rev. B. 1985. V. 32. P. 1519-1531.
- [6] Burbank R.D., Dynes R.S., Rose J.M. // J. of Low Temp. Phys. 1979. V 39. P. 573-585.

Поступило в Редакцию  
26 июня 1989 г.

Письма в ЖТФ, том 15, вып. 22  
05.4; 0.9

26 ноября 1989 г.

### СИГНАЛЬНЫЕ И ШУМОВЫЕ ХАРАКТЕРИСТИКИ МОСТИКОВ $YBa_2Cu_3O_{7-x}/Al_2O_3$ В МИЛЛИМЕТРОВОМ ДИАПАЗОНЕ ВОЛН

А.А. Верёвкин, В.А. Ильин,  
Ю.Н. Инкин, В.Н. Лаптев,  
В.И. Махов, В.М. Шамаев,  
В.С. Эткин

Для создания СВЧ устройств на основе высокотемпературных сверхпроводников необходимо получение структур на подложках из материала с малым значением диэлектрической проницаемости и их исследование в широком интервале температур и длин волн электромагнитного излучения. Целью настоящей работы является изучение отклика на монохроматический сигнал, а также шумов мостиков из  $YBa_2Cu_3O_{7-x}$  на подложках из  $Al_2O_3$ .

Мостики были изготовлены с помощью магнетронного напыления на подложках из монокристаллического сапфира. Температура  $T_c$  сверхпроводящего перехода пленок  $YBa_2Cu_3O_{7-x}$ , определенная по зависимости критического тока  $J_c$  от температуры, составляла 80-85 К. Размеры мостиков варьировались в пределах 10-50 мкм по ширине и 24-120 мкм по длине при толщине пленки  $\approx 1$  мкм. Плотность критического тока мостиков при 4.2 К составляла  $J_c \approx \approx 10^3$  А/см<sup>2</sup>, дифференциальное сопротивление в рабочей точке не превышало 10 Ом.

При изготовлении мостиков особое внимание уделялось качеству подводящих электродов. Они были выполнены в виде медных контактных площадок с малым переходным сопротивлением. Контактные площадки наносились через маску способом термического испарения при давлении в камере  $\approx 5 \cdot 10^{-4}$  Па без нагрева подложки. Сразу после напыления сопротивление переходного слоя медь -  $YBa_2Cu_3O_{7-x}$  при 77 К составляло  $\approx 3 \cdot 10^2$  Ом/см<sup>2</sup>. После термической обработки в течение 1 часа оно снижалось до  $10^{-3} - 10^{-4}$  Ом/см<sup>2</sup>. При этом вольт-амперные характеристики (ВАХ) контактов симметричны по отношению к изменению направления протекающего через них тока.